

CdWO₄ 纳米带的制备及其光学性质研究

周萍¹, 顾伟华¹, 韩玉翠², 刘方先², 姜娟¹

(1. 南京医科大学药学院, 江苏南京 210029)

(2. 南京师范大学化学与环境科学学院, 江苏南京 210097)

[摘要] 在十二胺为表面活性剂、正辛烷为油相形成的油包水(W/O)型反胶束体系中, 使Na₂WO₄和CdCl₂发生反应, 制得了长约2μm、带宽约20~30nm的CdWO₄纳米带。测试了其拉曼光谱和荧光发射光谱, 结果表明该CdWO₄纳米粒子具有较好荧光发射性能。

[关键词] 反胶束, 钨酸镉, 纳米带, 十二胺, 正辛烷

[中图分类号] O611.65 [文献标识码] A [文章编号] 1001-4616(2008)04-0080-04

Preparation and Optical Properties of CdWO₄ Nanobelt

Zhou Ping¹, Gu Weihua¹, Han Yucui², Liu Fangxian², Ding Meijuan¹

(1. School of Pharmacy, Nanjing Medical University, Nanjing 210029, China)

(2. School of Chemistry and Environmental Science, Nanjing Normal University, Nanjing 210097, China)

Abstract CdWO₄ nanobelts with the length of about 2 μm and the width of about 20~30 nm were prepared in microemulsion systems using octane as oil, dodecylamine as surfactants. This nanostructure was characterized by transmission electron microscopy (TEM), X-ray energy dispersive spectroscopy (EDS), fluorescence spectrophotometer. Photoluminescence analysis indicated the emission of the derived nanobelts was at about 428 nm, which was obviously blue shifted compared with the bulk CdWO₄. Due to its inherent optical properties, CdWO₄ nanobelts may play desirable role for various scintillation applications.

Key words reverse micelles; CdWO₄; nanobelts; dodecylamine; octane

近年来, 一维纳米粒子, 如纳米管、纳米丝和纳米棒等, 由于特殊的形态和结构导致其具有新奇的光、电、磁等特性, 在传感器、高密磁记录介质等高新技术领域有着重要的应用前景^[1~5]。如何控制纳米晶的成核和生长, 以制得具有一维结构的纳米粒子, 已成为当今纳米结构研究中的热点课题。至今, 人们已开发出多种制备一维纳米粒子的方法, 如化学气相沉积法、硬模板合成法、乳液法、胶束和反胶束法、配合物法和溶剂热合成法等^[6~19]。例如, 以聚乙烯吡咯烷酮-乙二醇胶束体系或用聚氧乙烯-聚甲基丙烯酸嵌段共聚物胶束体系作为还原剂和形状导向剂合成了Ag纳米丝; 在γ-辐照下以聚乙二醇为结构导向试剂, 制得了针状、棒状和晶须状γ-Fe₂O₃; 本课题组也曾以聚乙二醇为结构导向剂, 方便地制得了PbS纳米棒。

具有黑钨矿结构(单斜晶系)的CdWO₄是一种重要的无机光学材料, 具有热稳定性高、折射率高、发光强度大、余晖时间短、透光性好及辐射伤害小等特性, 其闪烁体性能也较其他闪烁晶体如CsI NaI BaF₂等更为优良, 因而成为应用于XCT探测器上的首选闪烁体材料。另外, CdWO₄的化学稳定性高、辐射长度短、对X射线吸收系数大, 可使高能物理探测器做得十分密集, 因此在放射性核的光谱及辐射性测定及核医学仪器方面也有很好的应用前景^[20~21]。目前关于特殊形状的CdWO₄纳米粒子的报道还很少, Qian研究小组^[22]用水热合成法在CTAB存在下合成了CdWO₄纳米棒和纳米线。本文在以十二胺作表面活性剂、正辛烷为油相所形成的油包水(W/O)型微乳液体系中, 使Na₂WO₄和CdCl₂发生反应, 方便地制得了带状

收稿日期: 2008-10-18

基金项目: 国家自然科学基金(20875048)、江苏省自然科学基金(DK2008439)资助项目。

通讯联系人: 周萍, 讲师, 研究方向: 纳米材料化学。E-mail: zhping01@ sina.com

CdWO₄纳米粒子,用TEM、HTEM和EDS对其进行表征并测试了其荧光光谱和Raman光谱等.

1 实验方法

1.1 试剂与仪器

十二胺、正辛烷、十一烯酸、Na₂WO₄·2H₂O、CdCl₂等试剂均为市售分析纯;聚乙二醇(PEG, 20 000)(国药集团化学试剂有限公司, 分析纯).

KQ-400DB型数控超声波清洗器; Anke TGL-16G离心机; 恒温水浴槽(数显恒温水浴锅HH-2),磁力搅拌器(85-2型恒温磁力搅拌器); JEM-200CX透射电子显微镜(日本电子公司); PERKINELMER Lambda 17紫外可见光谱仪; Labram HR 800显微共焦拉曼光谱仪(法国Jobin Yvon公司).

1.2 样品的制备

CdWO₄纳米带的制备: 将3.2 g十二胺溶于10 mL正辛烷,搅拌并微热至40℃,搅拌20 min,滴加1.0 mL 0.1 mol/L CdCl₂溶液,生成白色沉淀.搅拌15 min后,缓慢滴加1.0 mL 0.1 mol/L Na₂WO₄溶液(约15 s每滴),可观察到有白色沉淀生成,滴完后继续搅拌20 min,然后置于60℃的水浴中陈化24 h离心分离,取出白色沉淀,用正辛烷洗涤3次,再用乙醇洗涤3次,真空干燥后即得带状CdWO₄纳米粒子粉体.

1.3 样品的表征

将样品用乙醇超声分散,点样于喷碳的铜网上,干燥后用透射电子显微镜和高分辨透射电子显微镜对样品进行形貌和结构分析;用Labram HR 800显微共焦拉曼光谱仪测定其Raman光谱,激光器波长514~532 nm,到达样品的激光功率约10 mW.

2 结果与讨论

粒子的形貌由TEM(图1)获知.从图1中可看出,在十二胺/正辛烷/水体系中制得的CdWO₄纳米粒子为带状物,纳米带的长度达到平均2 μm左右,带的宽度主要分布在20~30 nm范围,所得产物长径比较大.在高分辨透射图(b)中可以看到CdWO₄纳米丝具有明显的晶格,但是由于晶格较大,衍射环主要出现在衍射中心点附近,因此在选区电子衍射图中看不到明显的衍射环(图1中插图).

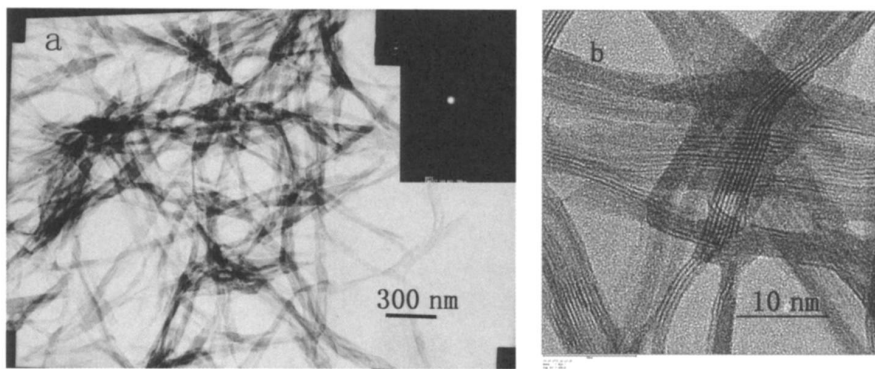
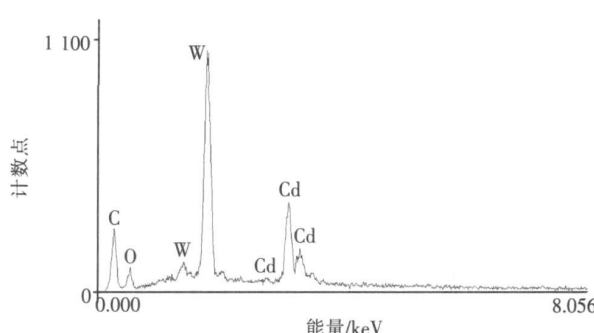
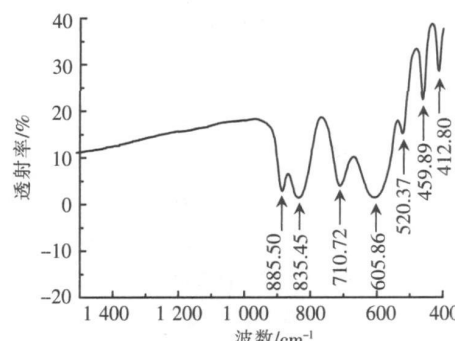


图1 CdWO₄纳米带的TEM图(a)、SAED图(a插图)和HTEM图(b)
Fig.1 TEM image (a), SAED image (Insert a) and HTEM image of CdWO₄ nanobelts

图2是CdWO₄纳米带的X-射线能量扩散光谱图(EDS).测试结果显示,所制得的样品中Cd、W、O3种元素的原子个数比值约为1:1:4与CdWO₄的化学式组成一致.另外从图中可知,样品中还含有少量的C、N元素,这可能是反应体系中使用的表面活性剂极少数残留在产物上所致.

图3是CdWO₄纳米带固体的R谱图.图中可见885.50 cm⁻¹、833.45 cm⁻¹、459.89 cm⁻¹和412 cm⁻¹为[WO₄]²⁻的特征吸收峰,其中位于833.45 cm⁻¹、412 cm⁻¹处吸收峰为CdWO₄中[WO₄]²⁻的基频振动,分别对应于σ₃(f₂)和σ₄(f₂).而位于885.50 cm⁻¹处的吸收峰为[WO₄]²⁻的伸缩振动峰^[23].710.72 cm⁻¹、605.86 cm⁻¹处的吸收峰可能是样品中所含结晶水导致的吸收峰.

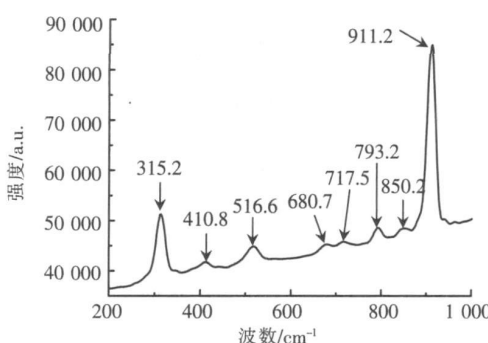
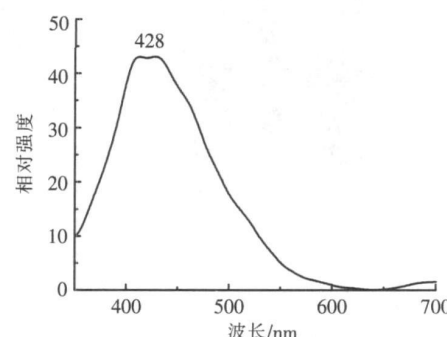
图4是CdWO₄纳米带在200~1 000 cm⁻¹范围的Raman光谱.CdWO₄属于单斜晶系,根据群论计算,

图2 CdWO₄纳米带的EDS谱图Fig.2 EDS of CdWO₄ nanobelts图3 CdWO₄纳米带的IR谱图Fig.3 IR spectrum of CdWO₄ nanobelts

其 A_g 振动和 B_g 振动具有拉曼活性^[24]. 根据图 5 并与文献值对比, 可以初步将峰位归属, 其中位于 911.2 cm^{-1} 、 717.5 cm^{-1} 、 315.2 cm^{-1} 归属为 A_g 振动模式, 而 793.2 cm^{-1} 、 680.7 cm^{-1} 、 516.6 cm^{-1} 归属为 B_g 振动模式, 911.2 cm^{-1} 和 315.2 cm^{-1} 处峰的强度较强, 与文献值相符.

在本反应体系中, 十二胺的浓度 (0.17 mol/L) 远远高于其 CMC ($\text{C}_{12}\text{H}_{25}\text{NH}_2 \cdot \text{HC}$) 的 CMC 为 0.014 mol/L ^[25], 因此我们认为该体系中十二胺主要形成棒状胶束, 水位于棒状胶束内, 形成棒状微反应器. 当将 Cd^{2+} 加入该体系后, Cd^{2+} 主要分布于十二胺形成的棒状胶束内表面^[26 27], 进一步加入 WO_4^{2-} 后, WO_4^{2-} 即和 Cd^{2+} 发生反应, 沿着棒状胶束的表面形成了带状的 CdWO_4 纳米粒子. 如果将表面活性剂十二胺的用量由 0.17 mol/L 降低为 0.017 mol/L , 得到的产物仍然为带状结构, 带的长度明显变短, 约为 700 nm 左右, 长径比减小. 这可能与表面活性剂的浓度减小后使得棒状胶束变小所致. 进一步将十二胺的浓度降低至 0.0017 mol/L , 得到颗粒状 CdWO_4 纳米粒子, 这可能是因为此时十二胺的浓度已经低于其 CMC, 在体系中不能形成棒状胶束, 所以无法形成 CdWO_4 纳米带.

图 5 是 CdWO_4 纳米带的荧光发射光谱图, 激发波长 300 nm . 从图中可以看出, 在 428 nm 处有明显的发射峰, 与块体 CdWO_4 晶体在激发波长为 300 nm 时产生的荧光发射峰 (470 nm) 相比^[28], 在 $400\sim 500\text{ nm}$ 范围内荧光发射峰发生明显的蓝移, 这可归结于形成纳米结构后产生量子尺寸效应所致, 可能会使其在闪烁材料的研究领域有潜在的应用前景.

图4 CdWO₄纳米带的Raman光谱Fig.4 Raman spectrum of CdWO₄ nanobelts图5 CdWO₄纳米带的荧光发射光谱图($\lambda_{ex}=300\text{ nm}$)Fig.5 PL spectrum of CdWO₄ nanobelts ($\lambda_{ex}=300\text{ nm}$)

3 结论

1 在十二胺为表面活性剂、正辛烷为油相形成的油包水 (W/O)型反胶束体系中, 使 Na_2WO_4 和 CdCl_2 发生反应, 方便地制得了 CdWO_4 纳米带.

2 测试了所制得 CdWO_4 纳米带的拉曼光谱和荧光发射光谱, 结果表明该 CdWO_4 纳米带具有较好荧光发射性能.

[参考文献]

- [1] Hu JT, Li L S, Yang W D, et al. Linearly polarized emission from colloidal semiconductor quantum rods[J]. Science, 2001, 292(5 524): 2060-2063.
- [2] Baughman R H, Zakhidov A A, de Heer A A. Carbon nanotubes—the route toward applications[J]. Science, 2002, 297(5 582): 787-792.
- [3] 姜国华, 姜继森. 金属氧化物纳米线和纳米棒的制备及应用 [J]. 材料科学与工程学报, 2003, 21(5): 753-758.
- [4] Wang Y W, Zhang L D, Wang G Z, et al. Catalytic growth of semiconducting zinc oxide nanowires and their photoluminescence properties[J]. Journal of Crystal Growth, 2002, 234(1): 171-175.
- [5] Gajicic M, Cao G, Gersten Bonnie. Optimization of the chemical vapor deposition process for carbon nanotubes fabrication [J]. Applied Surface Science, 2002, 199(1/4): 90-106.
- [6] Shyu Y H-M, Ling Hong Franklin, Chau Nan. Low-temperature growth and field emission of aligned carbon nanotubes by chemical vapor deposition[J]. Materials Chemistry and Physics, 2001, 72(2): 223-227.
- [7] Xu D S, Shi X S, Guo G L, et al. Electrochemical preparation of CdSe nanowire arrays[J]. J Phys Chem B, 2000, 104(21): 5061-5063.
- [8] Li Y D, Wang JW, Deng Z X, et al. Bismuth nanotubes—a rational low-temperature synthetic route[J]. J Am Chem Soc, 2001, 123(40): 9904-9905.
- [9] Xu F, Zhang X, Xie Y, et al. Morphology control of Y-Fe₂O₃ nanocrystals via PEG polymer and accounts of its Mössbauer study[J]. J Colloid and Interface Science, 2003, 260(1): 160-165.
- [10] Feng Y Y, Zhang J, Zhou P, et al. A facile method to prepare PbS nanorods[J]. Materials Research Bulletin, 2004, 39(13): 1999-2005.
- [11] Ai SY, Jin LT, Zhou J, et al. Preparation and photocatalytic property of ZnO nanorods with uniform morphology[J]. Chinese Journal of Inorganic Chemistry, 2005, 21(2): 270-272.
- [12] Zhao Y N, Chen X M, Li X H, et al. Solvothermal synthesis of nanostructured cobalt fiber under microemulsion media[J]. Chemical Journal of Chinese Universities, 2003, 24(6): 986-988.
- [13] Wang JW, Wang X, Peng Q, et al. Synthesis and characterization of bismuth single-crystalline nanowires and nanospheres [J]. Inorg Chem, 2004, 43(23): 7552-7556.
- [14] Zhou H C, Xu J, Xu S, et al. Synthesis and characterization of CaSO₄ nanorods (wires) in microemulsion system [J]. Chinese Journal of Inorganic Chemistry, 2002, 18(8): 815-818.
- [15] Jian JK, Chen X L, Tu Q Y, et al. Preparation and optical properties of prism-shaped GaN nanorods—simple template-free solution route for the controlled synthesis of Cu(OH)₂ and CuO nanostructures[J]. J Phys Chem B, 2004, 108(32): 12024-12026.
- [16] Lu C H, Qi L M, Yang J H, et al. Simple template-free solution route for the controlled synthesis of Cu(OH)₂ and CuO nanostructures[J]. J Phys Chem B, 2004, 108(46): 17825-17831.
- [17] Wang J S, Sun J Q, Bian X F, et al. Preparation of oriented TiO₂ nanobelts by microemulsion technique[J]. Materials Science and Engineering A, 2004, 379(1/2): 7-10.
- [18] Zhang M, Wang Z H, Xiang C, et al. Large-scale synthesis of antimony nanobelts [J]. Journal of Crystal Growth, 2004, 268(1/2): 215-221.
- [19] Wang H L, Ma X D, Qian X F, et al. Selective synthesis of CdWO₄ short nanorods and nanofibers and their self-assembly [J]. Journal of Solid State Chemistry, 2004, 177(12): 4588-4596.
- [20] Liao H W, Wang Y F, Lin X M, et al. Hydrothermal preparation and characterization of luminescent CdWO₄ nanorods[J]. Chemistry of Materials, 2000, 12(10): 2819-2821.
- [21] 柯以侃, 董慧茹. 分析化学手册第三分册 光谱分析 [M]. 北京: 化学工业出版社, 1998.
- [22] Gabrusenoks J, Veispals A, von Czarnowski A, et al. Infrared and Raman spectroscopy of WO₃ and CdWO₄[J]. Electrochimica Acta, 2001, 46(13/14): 2229-2231.
- [23] 赵国玺. 表面活性剂物理化学 [M]. 北京: 北京大学出版社, 1991.
- [24] Kagan C R, Mitzi D B, Dimitrakopoulou C D. Organic-inorganic hybrid materials as semiconducting channels in thin-film field-effect transistors[J]. Science, 1999, 286(5 441): 945-947.
- [25] 徐军, 马笑山, 顾及, 等. 闪烁晶体 CdWO₄ 的生长 [J]. 人工晶体学报, 1990, 19(4): 283-287.

[责任编辑: 顾晓天]